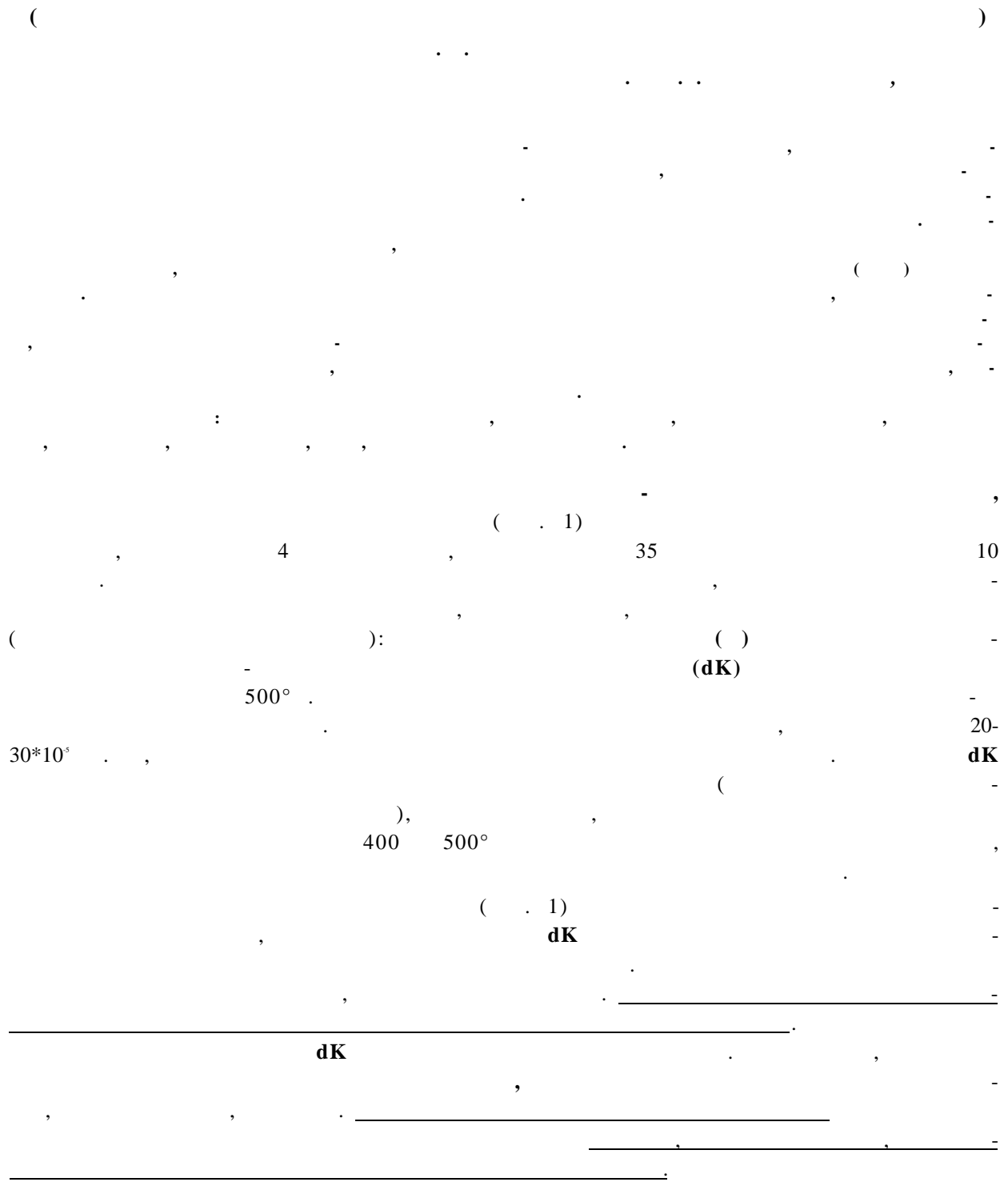




ОЧЕРКИ ПО РЕГИОНАЛЬНОЙ ГЕОЛОГИИ

- 70	4
..	6
..	20
..	48
(.....	34
).	57
.....	64
..	68
..	83
..	91
..	110



[7, 10, 17, 22, 37].

Fe_3O_4 ,

0,05 0,5) (: (5 40), (

) , , Fe₁ S , ,

, , , , , , [10. 12, 40].

, , , , ,

() , (. 1).

, , , ,

(Craspedodiscus discofalcatus), (

2) , , [7, 10, 12, 22, 37]. (

) , , , ,

Fe₁ S , , , ,

, , , , ,

N- , , 4 (. 3).

, , , ,

"Faraoni event" [32] (. 3). , , ,

, 127,5 . "Faraoni event" ,

. discofalcatus. P. catuloi P. catuloi

, , , 4. ,

, , , ,

, , , ,

[10, 12].

(dK),

(Deshayesites volgensis).

R-

[6]

(. . 4).

(. . 1),

[10, 12, 15].

(**dK**)

[35, 36] (. . 5)

(. . 1) .

Parahoplites melchioris,

ISEA,

[33]

G. algerianus.

ISEA [41 . .].

1 (

dK)

(. .)

[2], Hysteroberas orbignyi (. .) [14].

(. . ,) (. . 1).

N₁al₃ R₁al₃

[10],

(RN) "Contessa",

(. . 6). [42J (. . 6).

breggiensis [33],

RN-

(. . 6).

,

«

-1»

-1 .

2 (

dK)

lli-

Stolizkaia dispar (. .) [2] (. .) [10] (. . 1).
hoplites vraconensis S. dispar) (. .) [10] (. . 1).
R₁al₃

[2, 10] (. . 6).

dK

,

1% [4].

-1d

[33] (. . 6).

(. . . 1),

[1, 20]

[35, 36],

[15, 40].

[16],

,

1

$$(\quad \cdot \quad 1),$$

,

(. 7-),

[7, 23]

[17].

(. 1)

(. 7-).

1

[5].

[7].

(. 7-),

[31].

(. 7-),

[36],

[8, 27, 29].

[15, 40],
(. 7-),

[26].

1

(

) (.7-).

(),

,

— (.7-) —

,

[24].

[1]

[20] (.7-)
1 ,

(.7-).

(

[3]).

, , $200 \cdot 10^{-5}$, (.7-),

(.7-)

[9].

[28].

« »
[21],

.7- .7-

~ « 10 / , »: () ~ 20 / .

[19].

« » ~ 15 / , , ,

« »

(10-20 /)

[18].

1

3

(08-05-00385)

Сводный петромагнитный разрез средней юры - нижнего мела Ульяновского, Самарского и Саратовского Поволжья

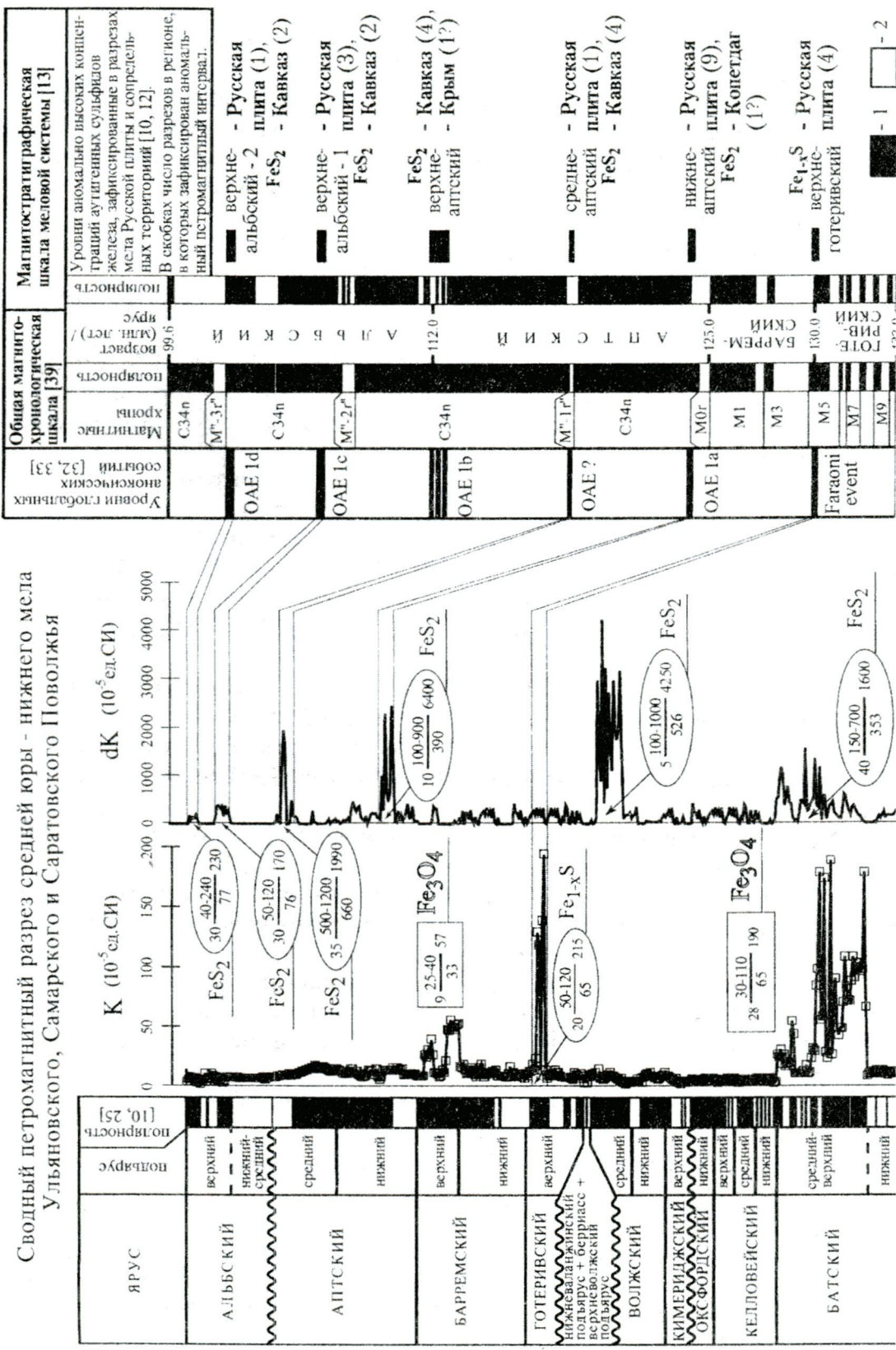


Рис. 1. Сводный петромагнитный разрез средней юры – нижнего мела Поволжья и его сопоставление с уровнями океанских анонических событий мелового периода.

Цифры – статистические характеристики аномальных петромагнитных интервалов: в числителе дроби наибольее часто встречающееся значение параметра (50% выборки), в знаменателе среднее арифметическое значение по всей выборке, по краям дроби минимальное (слева) и максимальное (справа) значения. Статистические оценки по сильномагнитным интервалам, обусловленным магнетитом, заключены в прямоугольники, а по интервалам, обусловленным сульфидами железа, – в эллипсы.

Условные обозначения. Геомагнитная полярность: 1 – прямая, 2 – обратная.

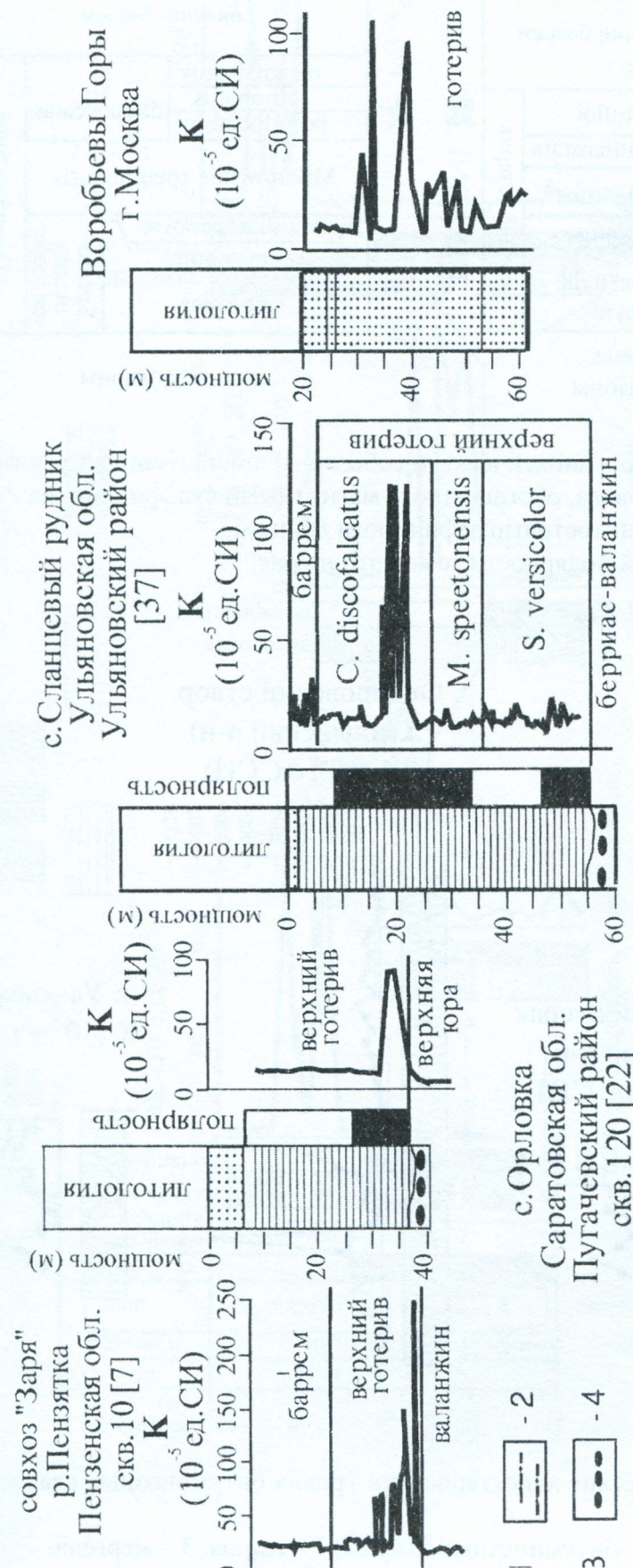
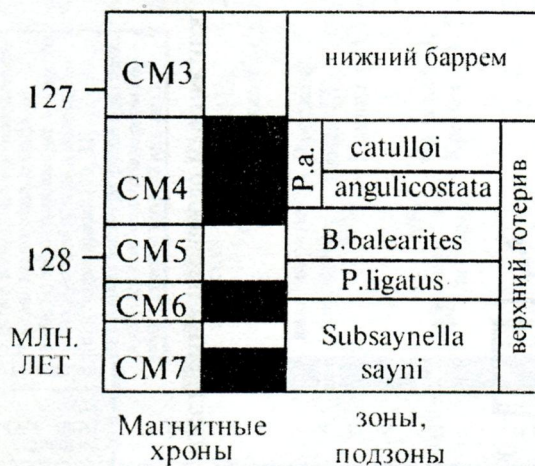


Рис. 2. Магнитная восприимчивость верхнеготеривских отложений Русской плиты.
Условные обозначения. 1 – преимущественно глинистые отложения, 2 – алевриты, 3 – преимущественно песчаные отложения,
4 – фосфориты. Обозначения геомагнитной полярности те же, что на рис. 1.

Западное
Средиземноморье [34]



Среднее
Поволжье [10, 37]

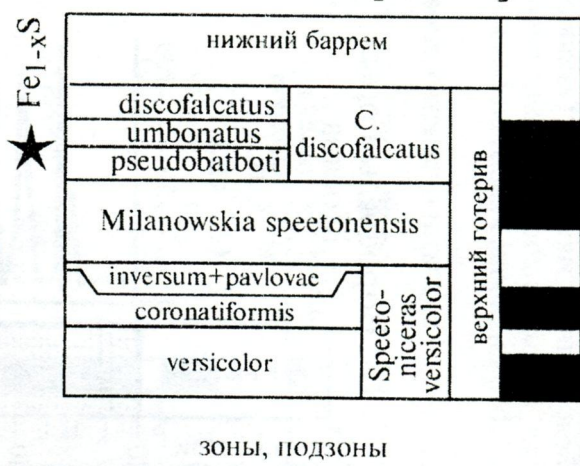


Рис.3. Сопоставление уровня аноксического события «Faraoni event» в Средиземноморье (черный квадрат) и интервала, обогащенного магнитными сульфидами, на Русской плате (звездочка) по био- и магнитостратиграфическим данным.

Обозначения геомагнитной полярности те же, что на рис. 1.

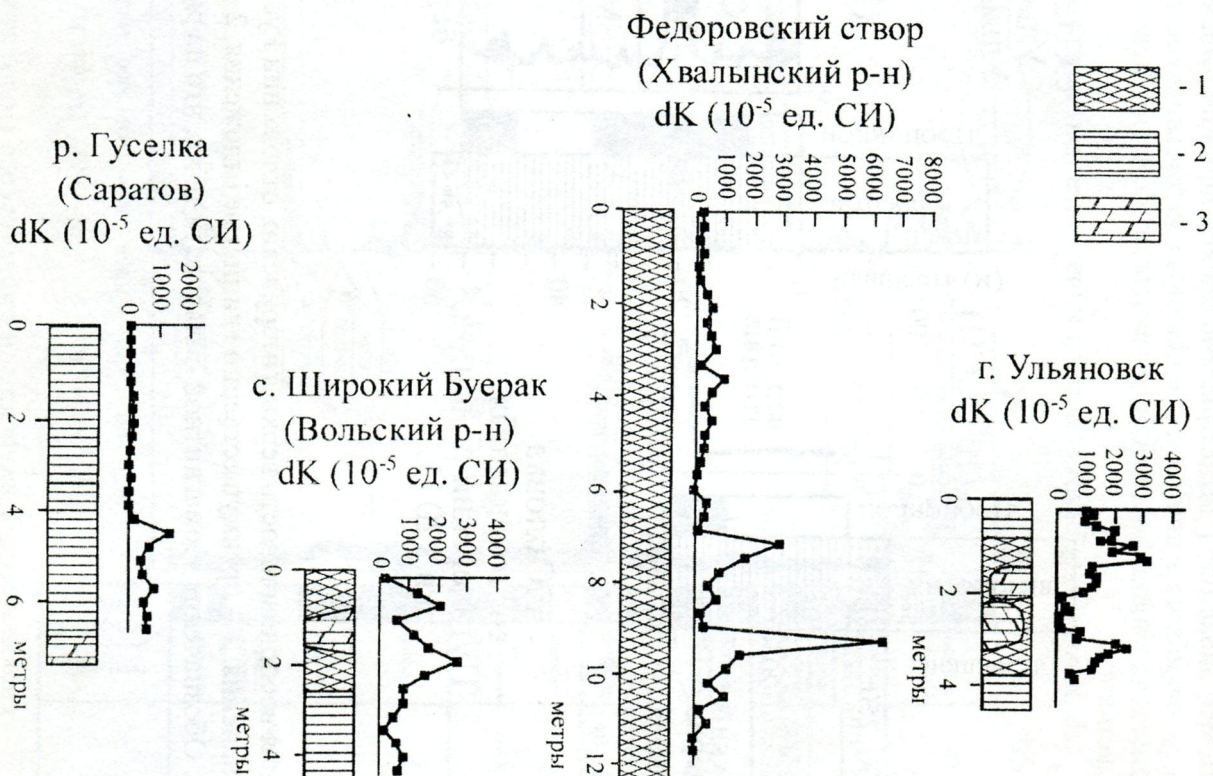


Рис. 4. Термокаппаметрические характеристики уровня битуминозных сланцев нижнего апта Поволжья.

Условные обозначения. 1 – битуминозные сланцы, 2 – глины, 3 – мергели.

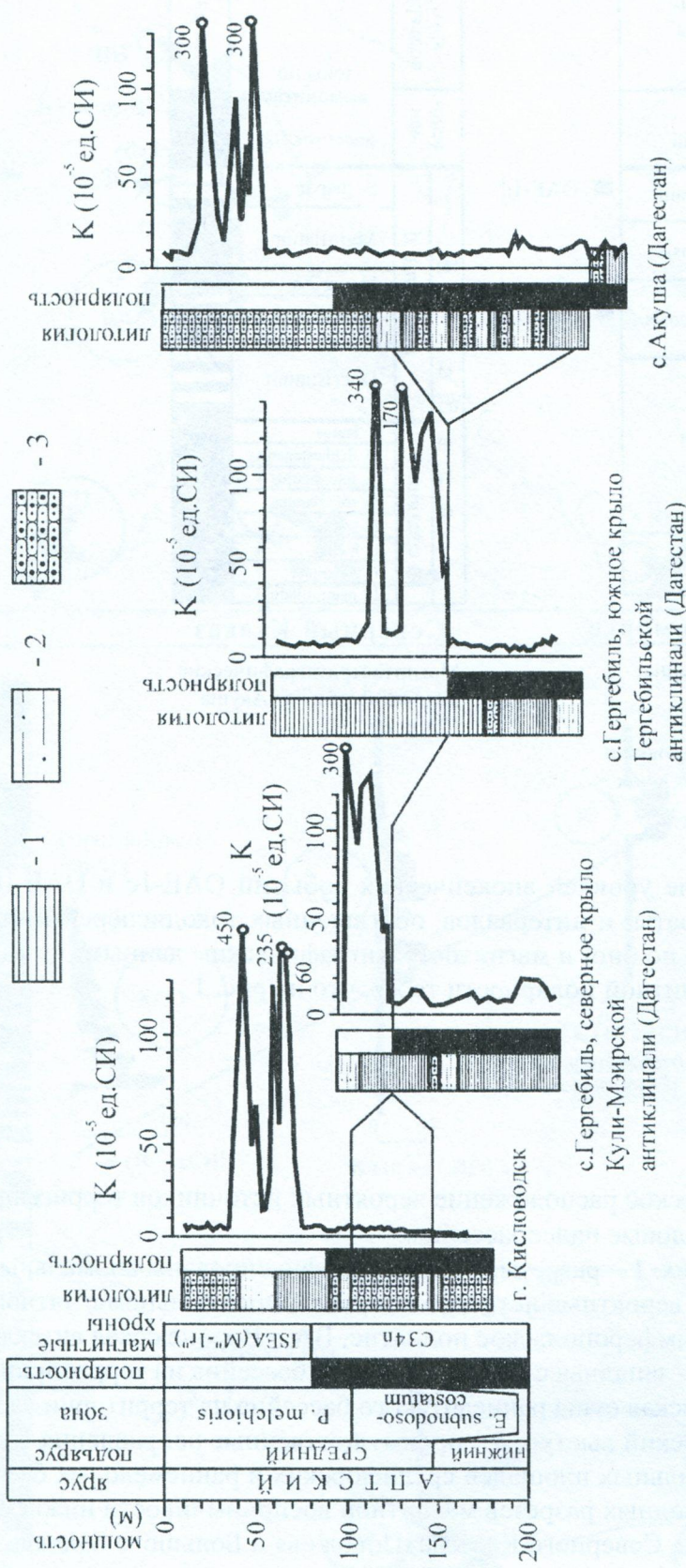


Рис. 5. Термокалориметрические характеристики среднеалпских отложений Северного Кавказа [...].
Обозначения геомагнитной полярности те же, что на рис. 1.

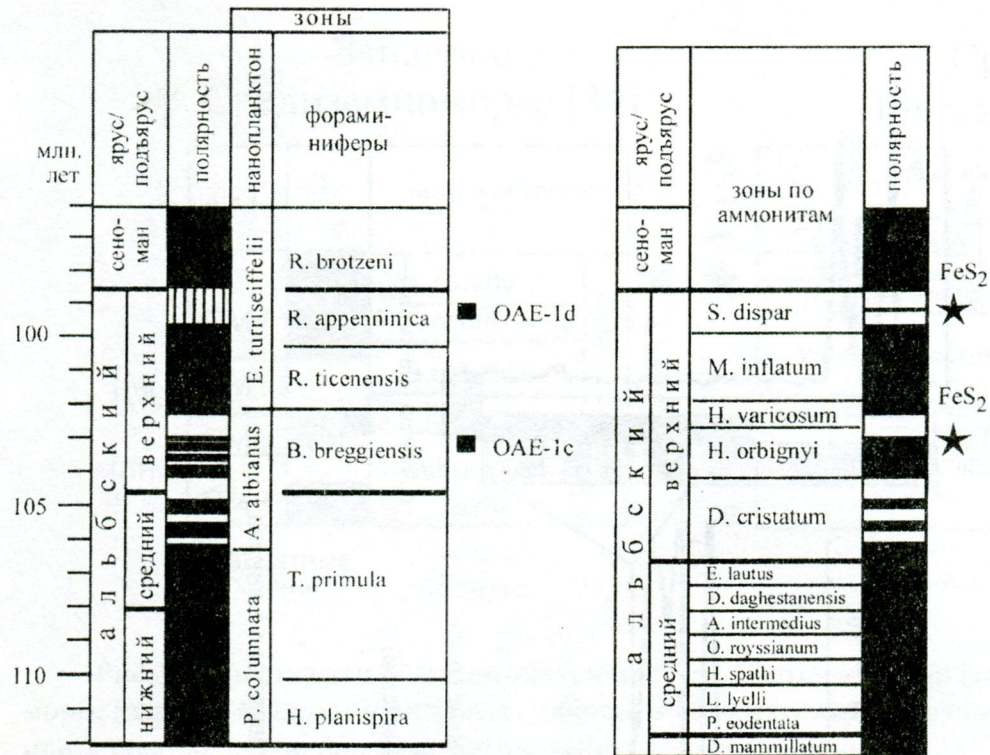


Рис. 6. Сопоставление уровней аноксических событий ОАЕ-1с и ОАЕ-1д в Средиземноморье (черные квадраты) и интервалов, обогащенных токодисперсным пиритом, на Русской плите (звездочки) по био- и магнитостратиграфическим данным.

Обозначения геомагнитной полярности те же, что на рис. 1.

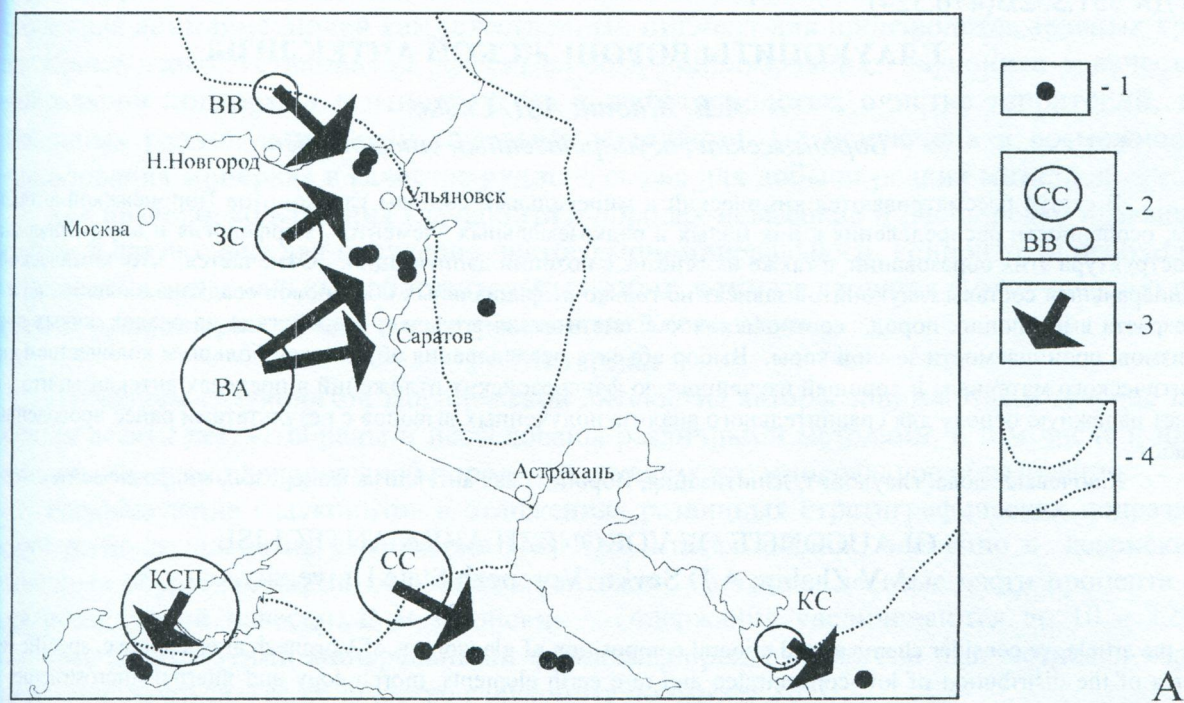
Рис. 7. А - Схематическое расположение вероятных источников терригенного сноса в среднеюрские и раннемеловые палеобассейны.

Условные обозначения. 1 – разрезы, в которых зафиксированы аномальные петромагнитные интервалы. 2 – вероятные источники терригенного сильномагнитного материала: КСП – Качинско-Симферопольское поднятие, ВА – Воронежская антеклиза, СС – Ставропольский свод, ЗС – западная суша барремского бассейна на территории Среднего Поволжья, КС – Карабогазская суша раннеаптского бассейна на территории Запада Средней Азии, ВВ – Воротиловский выступ. 3 – преимущественные направления терригенного сноса. 4 – контуры минимальных площадей среднеюрских и раннемеловых бассейнов.

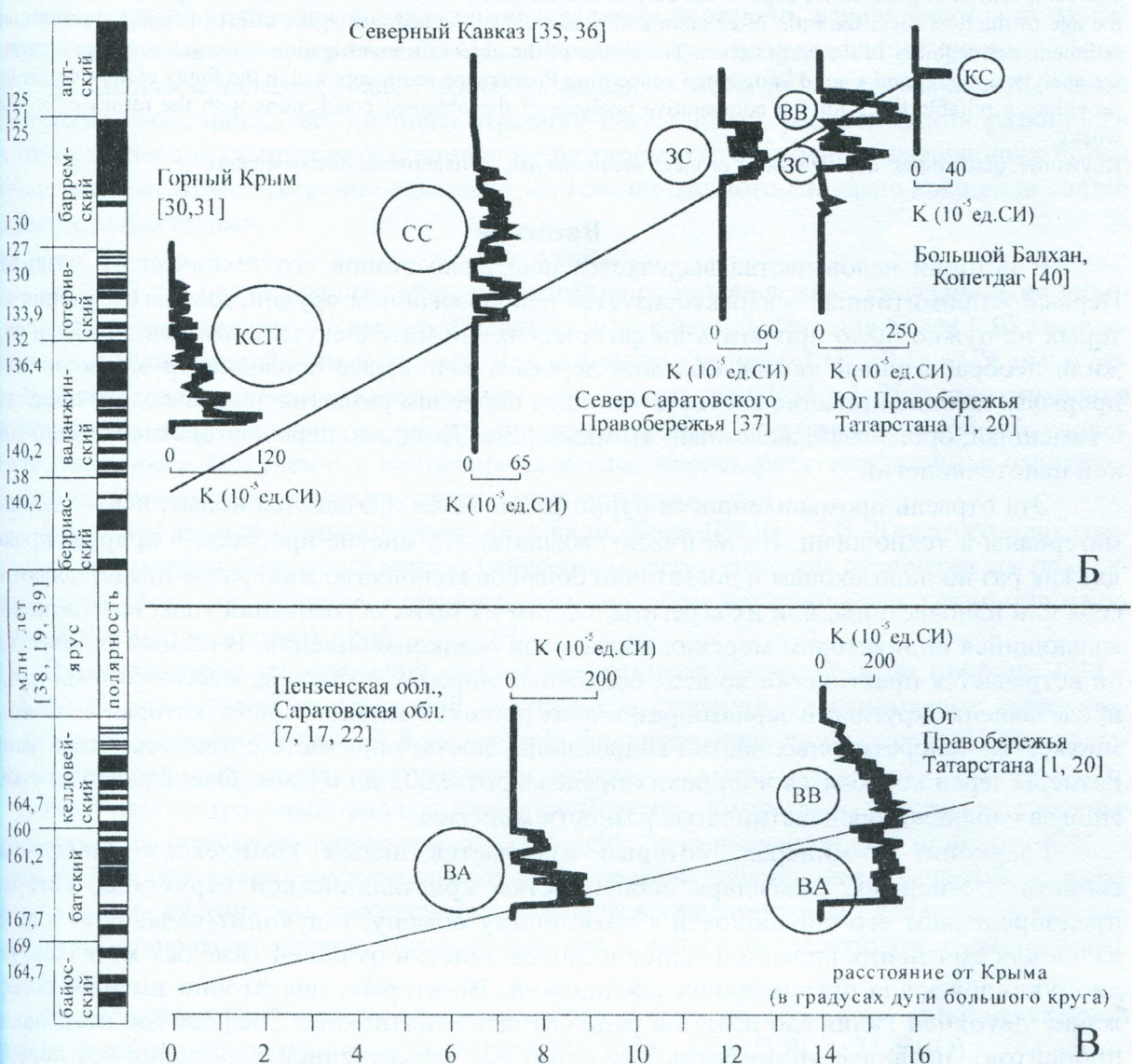
Б - Сопоставление сводных разрезов магнитной восприимчивости нижнемеловых отложений Горного Крыма, Северного Кавказа, Поволжья и Большого Балхана.

В - Сопоставление сводных разрезов магнитной восприимчивости среднеюрских отложений Нижнего и Среднего Поволжья.

Обозначения геомагнитной полярности те же, что на рис. 1.



А



Б

Б